

## APÊNDICE F

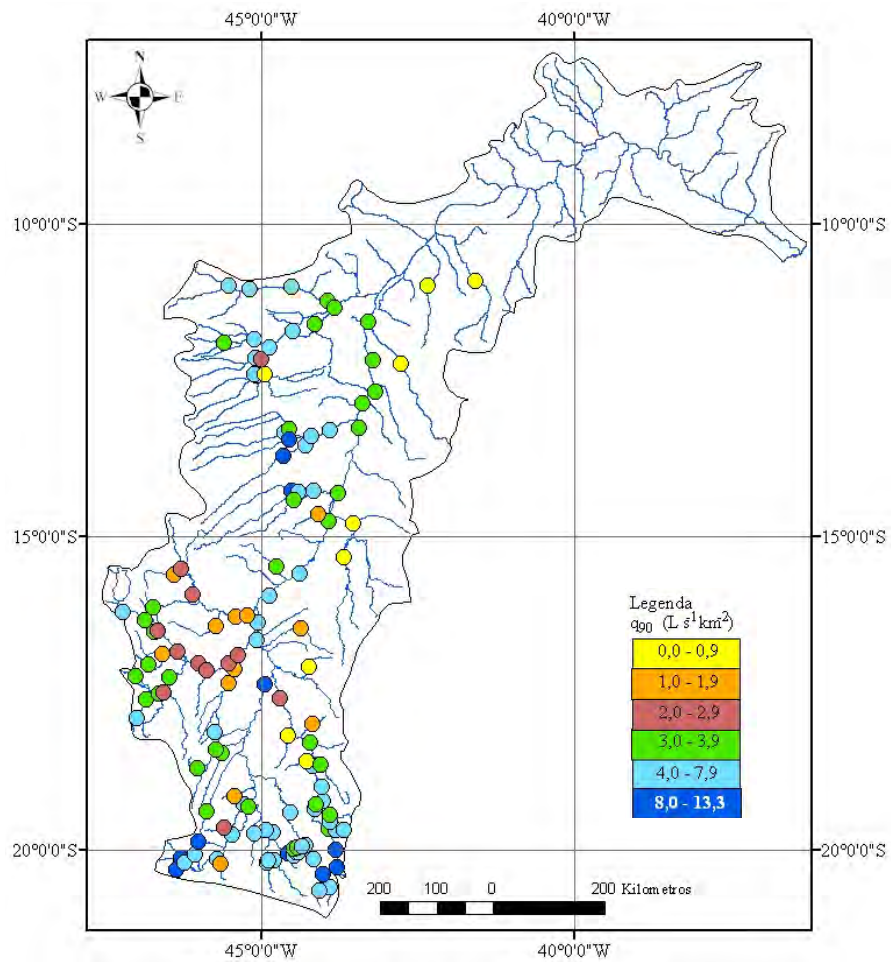


Figura 1F – Vazão específica referente à  $Q_{90}$  nas áreas de drenagem de 145 estações fluviométricas situadas na bacia do São Francisco, considerando-se o período de 1979 a 2002.

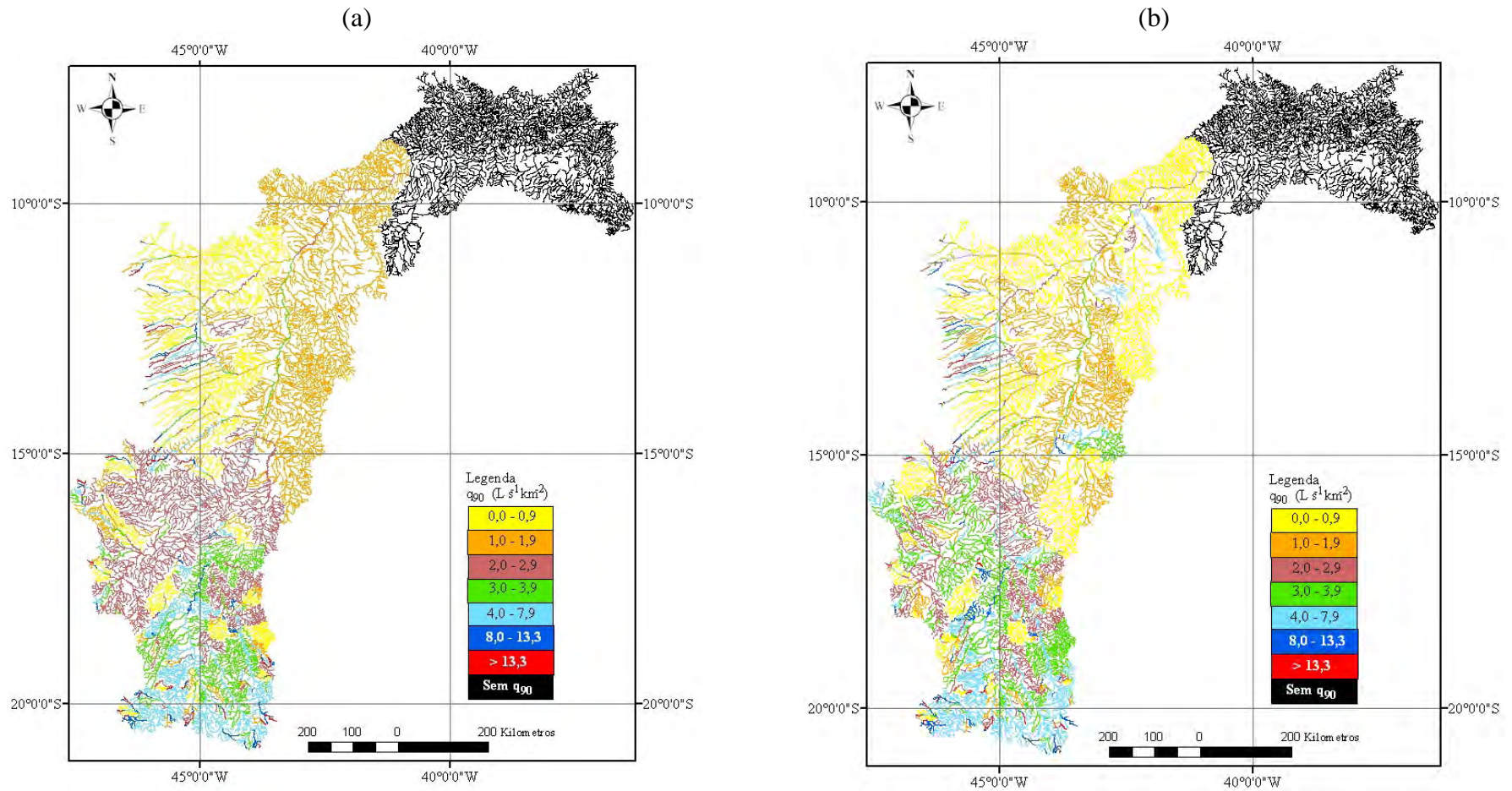


Figura 2F – Vazão específica referente à  $Q_{90}$  ( $q_{90}$ ) obtidas quando utilizadas as vazões regionalizadas em função da área (a); e da  $P_{eq}$  (b) pelo MCM.

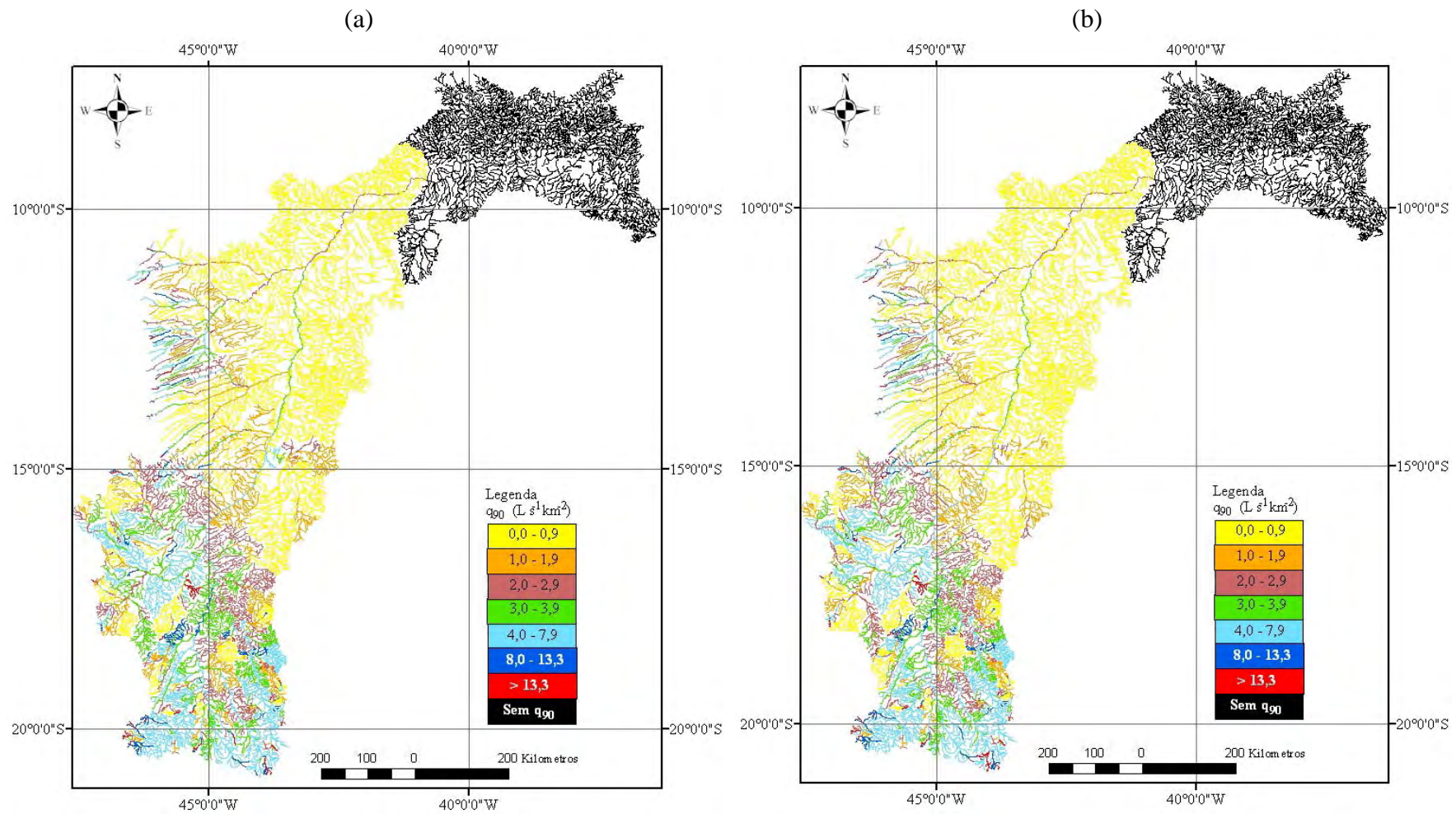


Figura 3F – Vazão específica referente à  $Q_{90}$  ( $q_{90}$ ) obtidas quando utilizadas as vazões regionalizadas em função da  $P_{eq700}$  (a); e da  $P_{eq750}$  (b) pelo MCM.

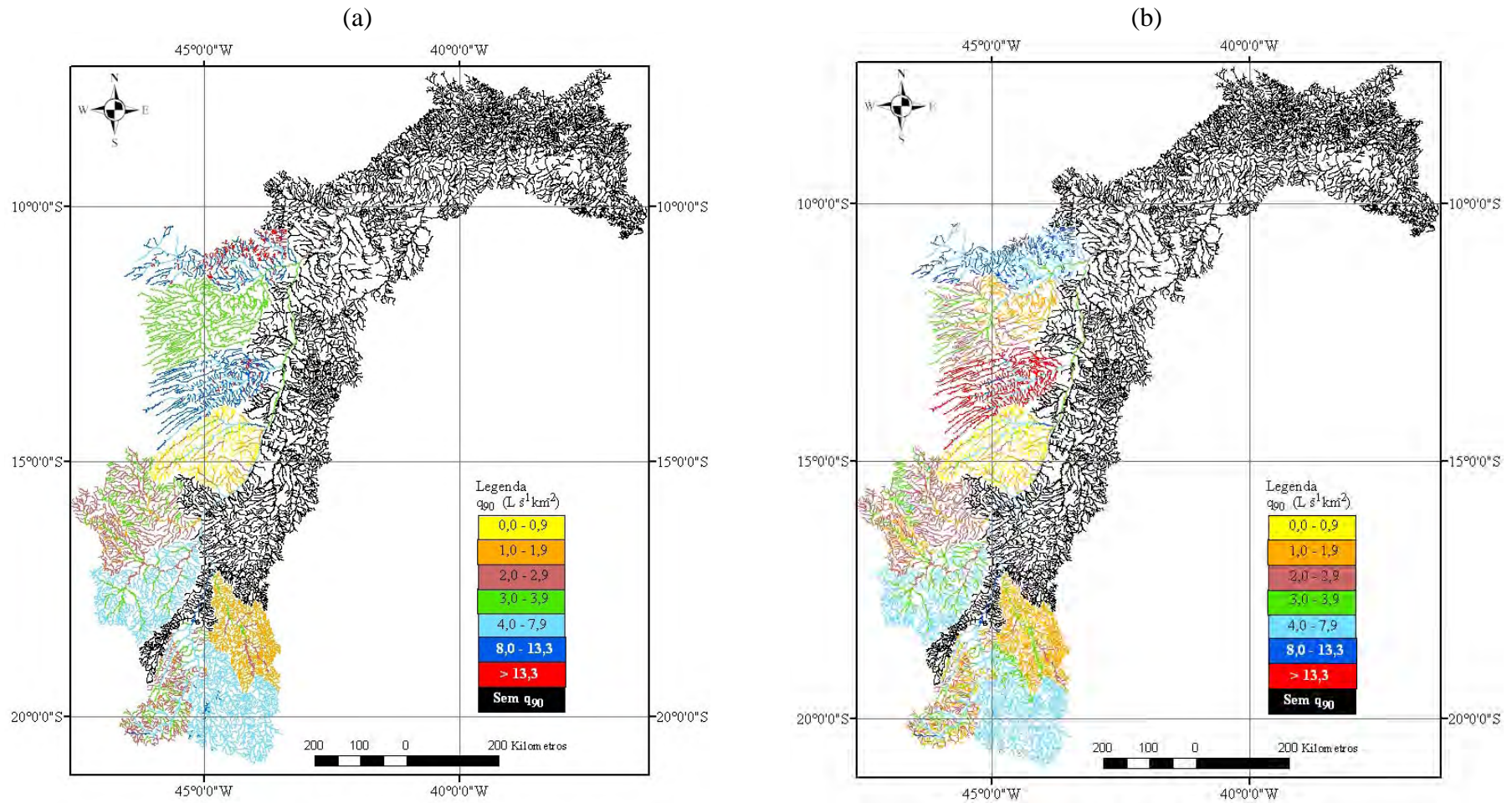


Figura 4F – Vazão específica referente à  $Q_{90}$  ( $q_{90}$ ) obtidas quando utilizadas as vazões regionalizadas em função da área (a); e da  $P_{eq}$  (b) pelo Método Tradicional.

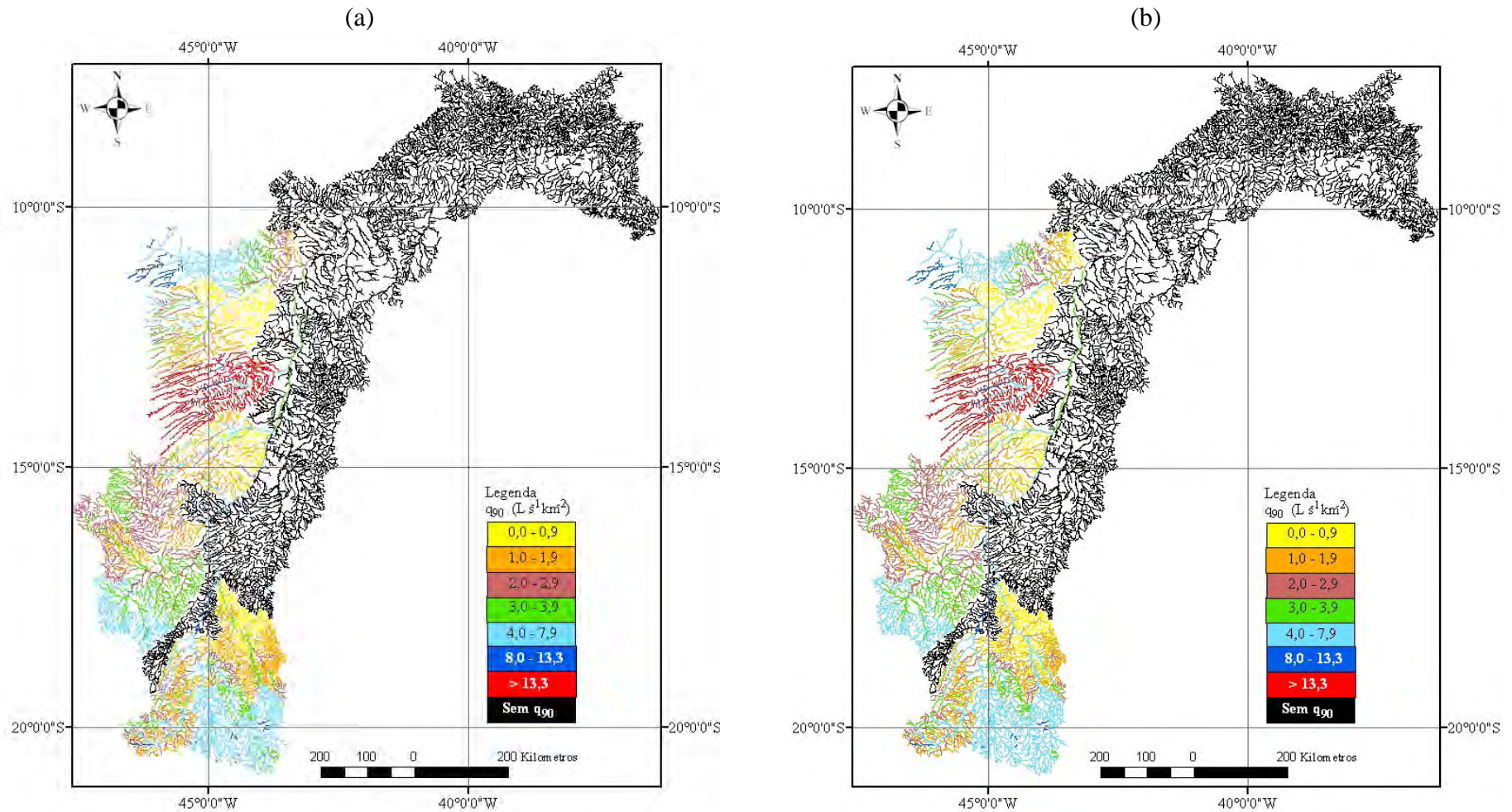


Figura 5F – Vazão específica referente à  $Q_{90}$  ( $q_{90}$ ) obtidas quando utilizadas as vazões regionalizadas em função da  $P_{eq700}$  (a); e da  $P_{eq750}$  (b) pelo Método Tradicional.

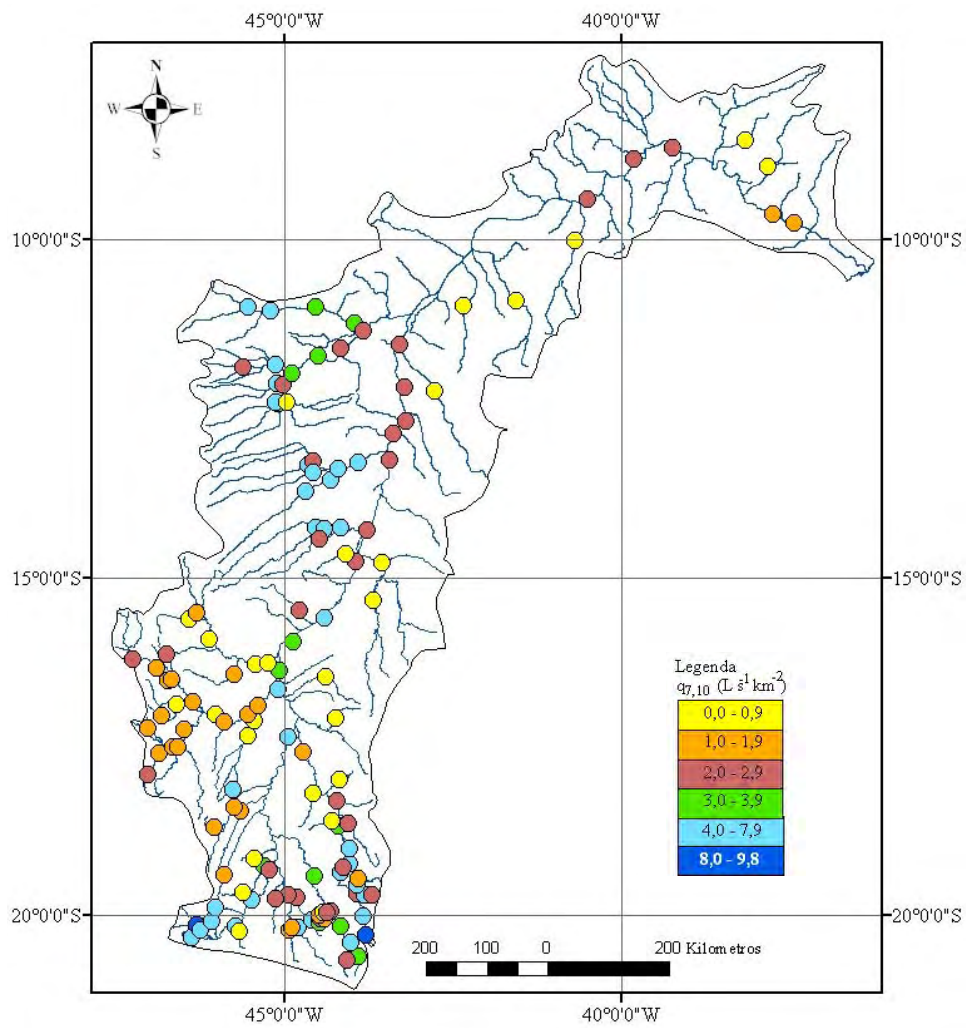


Figura 6F – Vazão específica referente à  $Q_{7,10}$  nas áreas de drenagem de 145 estações fluviométricas situadas na bacia do São Francisco, considerando-se o período de 1979 a 2002.

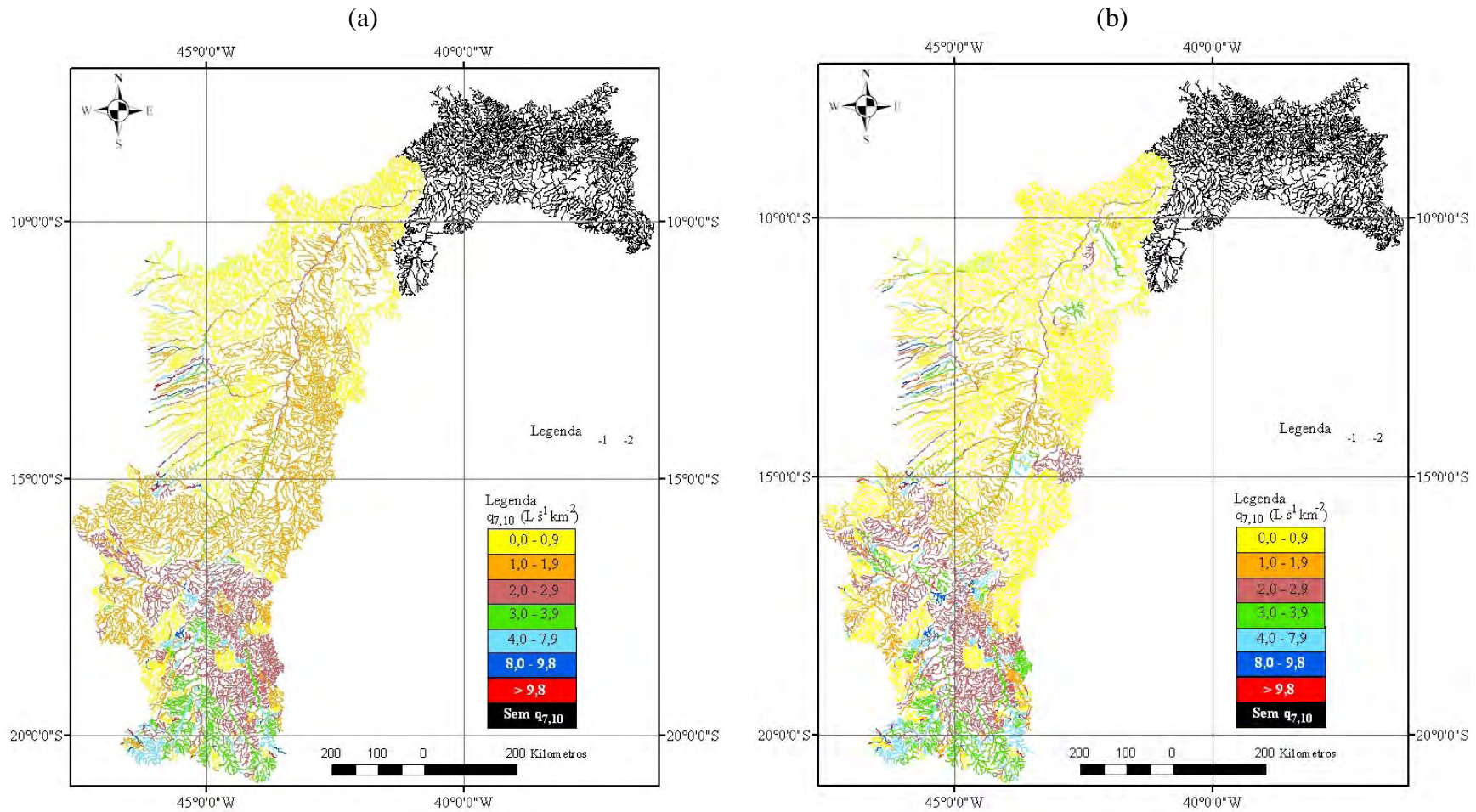


Figura 7F – Vazão específica referente à  $Q_{7,10}$  ( $q_{7,10}$ ) obtidas quando utilizadas as vazões regionalizadas em função da área (a); e da  $P_{eq}$  (b) pelo MCM.

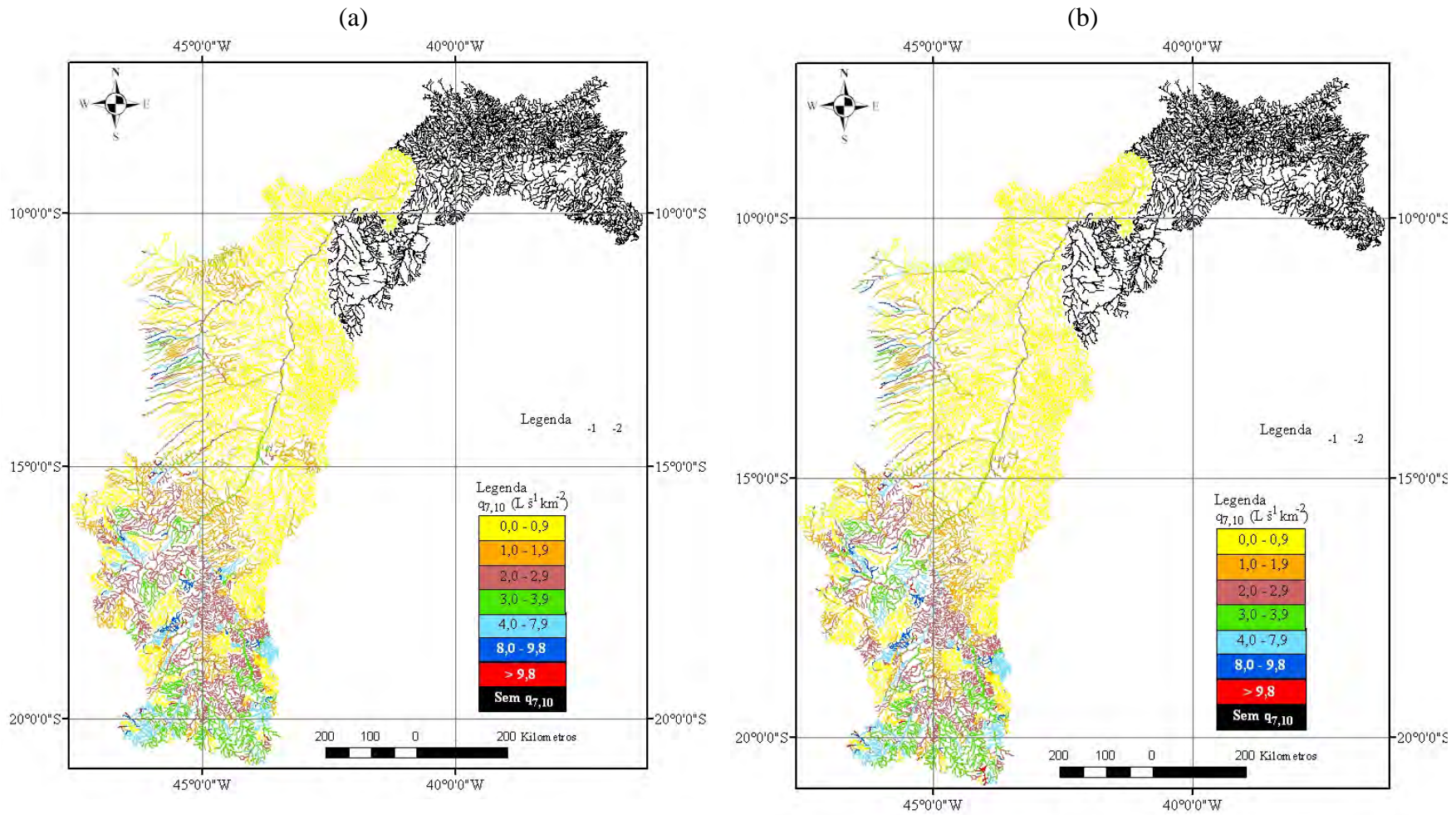


Figura 8F – Vazão específica referente à  $Q_{7,10}$  ( $q_{710}$ ) obtidas quando utilizadas as vazões regionalizadas em função da  $P_{cq700}$  (a); e da  $P_{cq750}$  (b) pelo MCM.

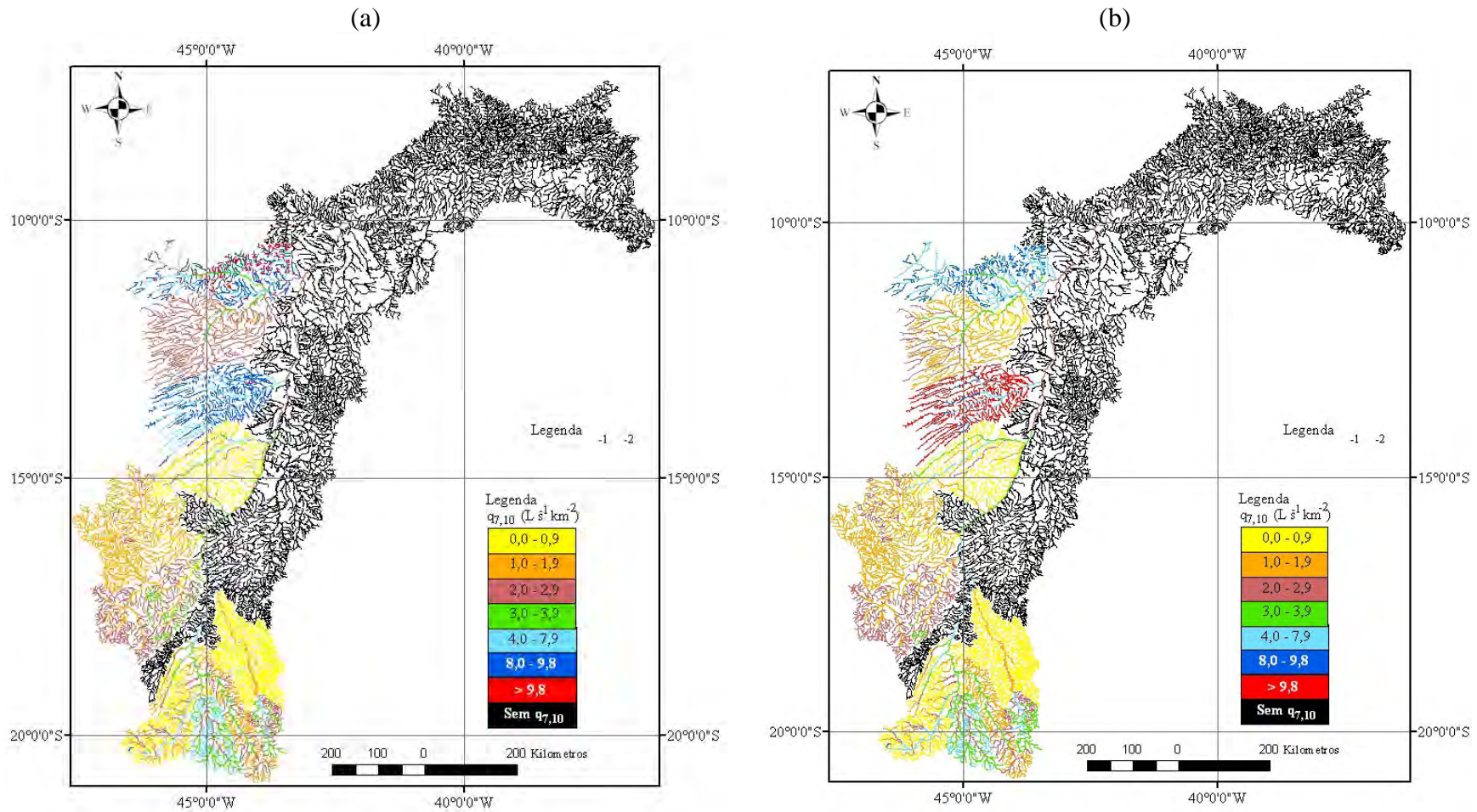


Figura 9F – Vazão específica referente à  $Q_{7,10}$  ( $q_{7,10}$ ) obtidas quando utilizadas as vazões regionalizadas em função da área (a); e da  $P_{eq}$  (b) pelo Método Tradicional.

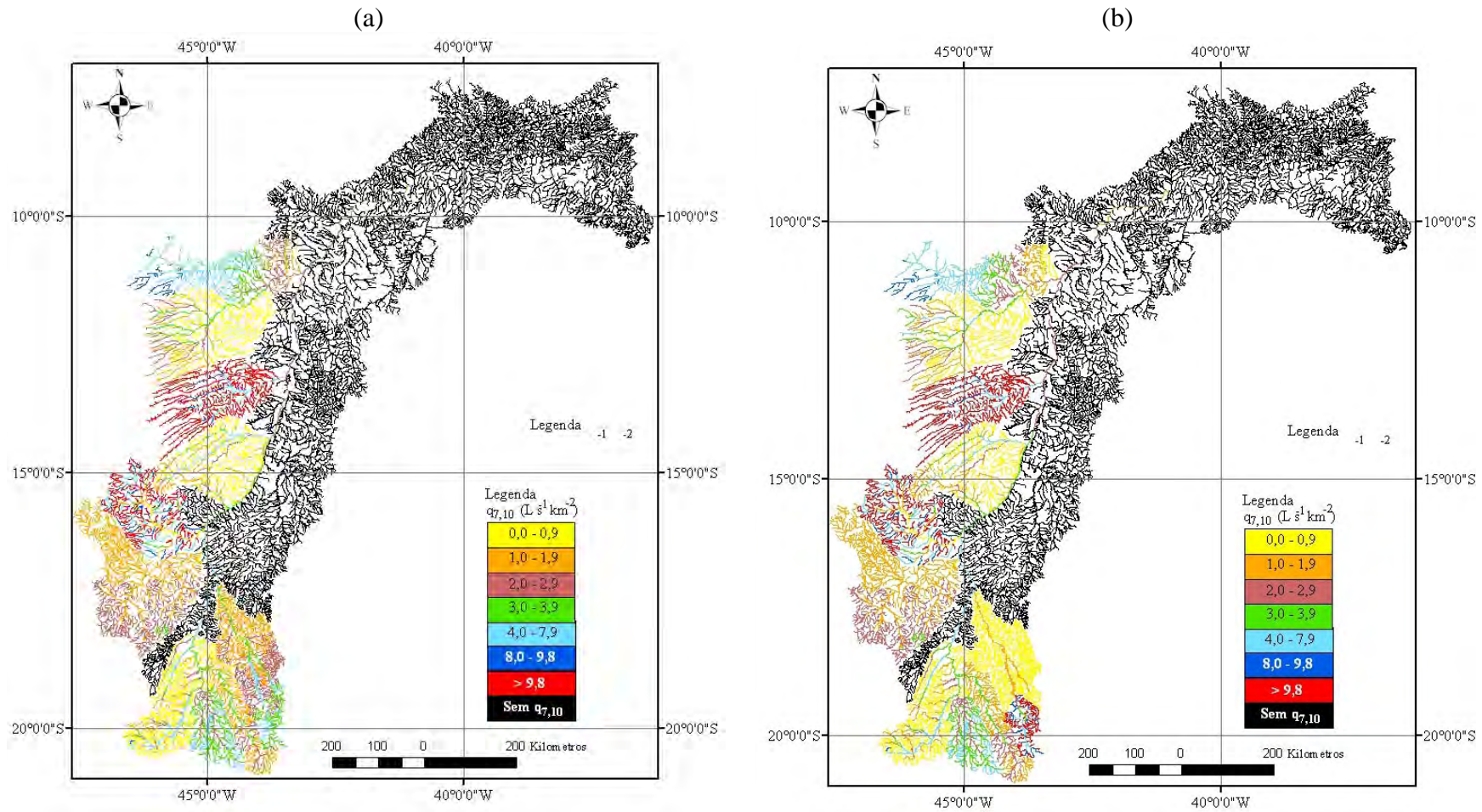


Figura 10F – Vazão específica referente à  $Q_{7,10}$  ( $q_{7,10}$ ) obtidas quando utilizadas as vazões regionalizadas em função da  $P_{eq700}$  (a); e da  $P_{eq750}$  (b) pelo Método Tradicional.

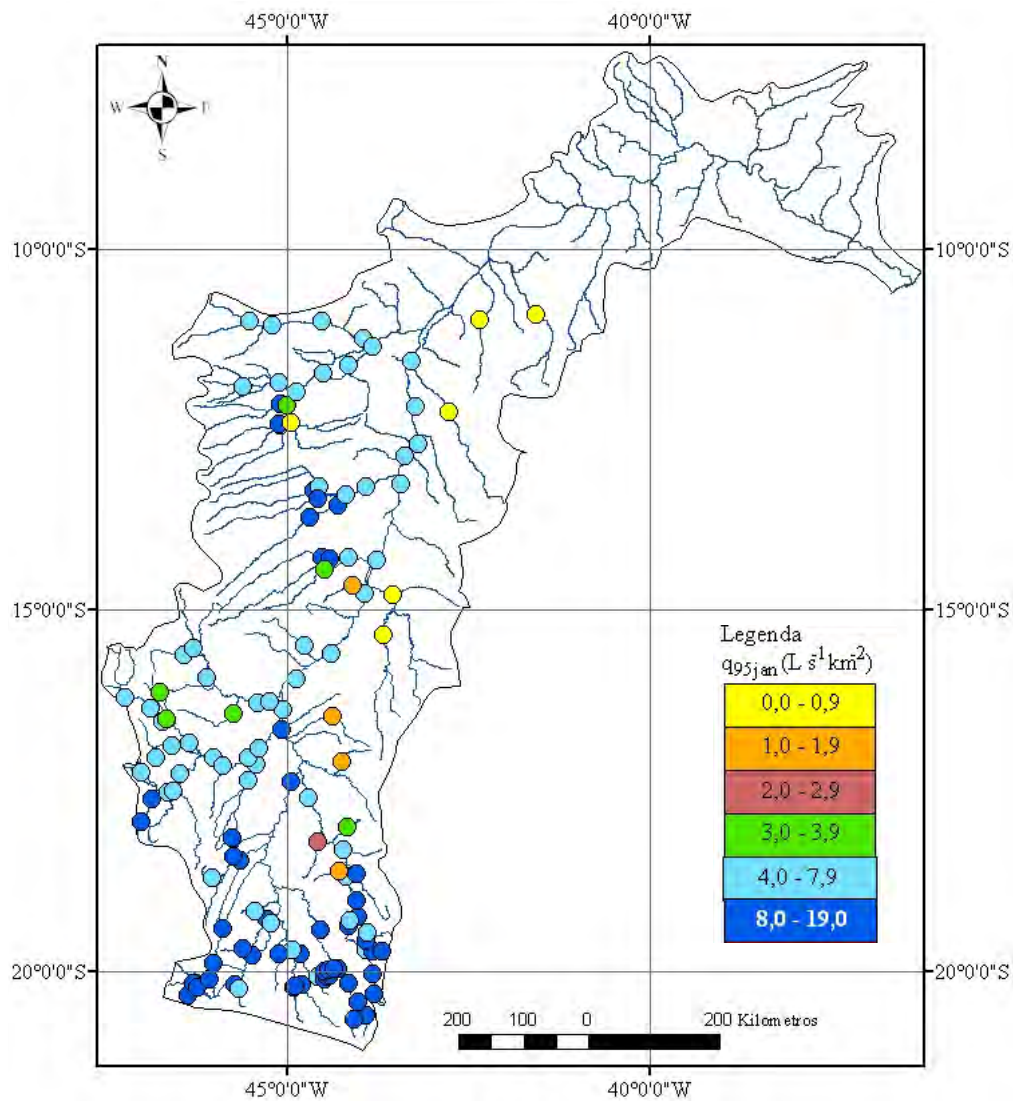


Figura 11F – Vazão específica referente à  $Q_{95jan}$  nas áreas de drenagem de 145 estações fluviométricas situadas na bacia do São Francisco, considerando-se o período de 1979 a 2002.

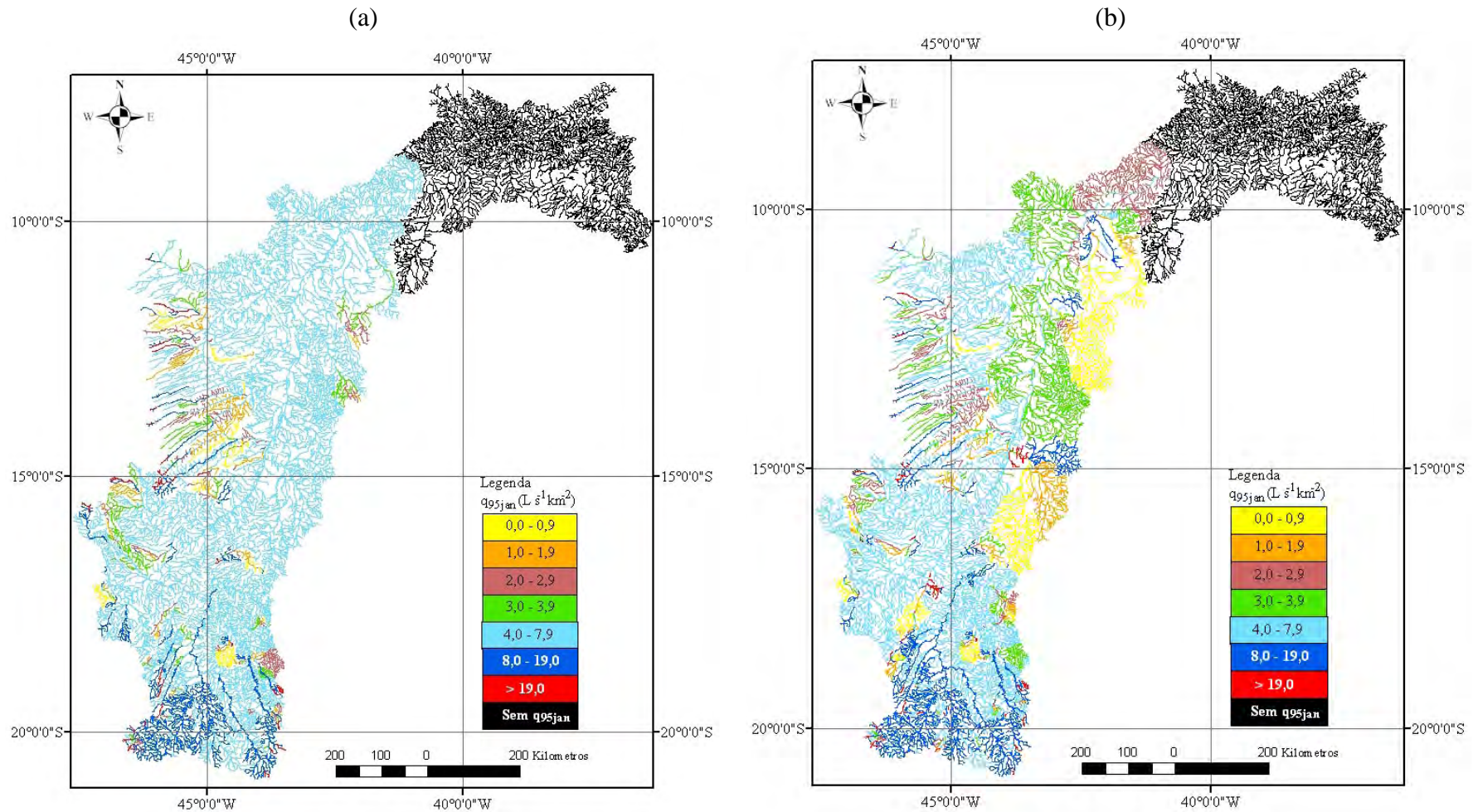


Figura 12F – Vazão específica referente à  $Q_{95jan}$  ( $q_{95jan}$ ) obtidas quando utilizadas as vazões regionalizadas em função da área (a); e da  $P_{eq}$  (b) pelo MCM.

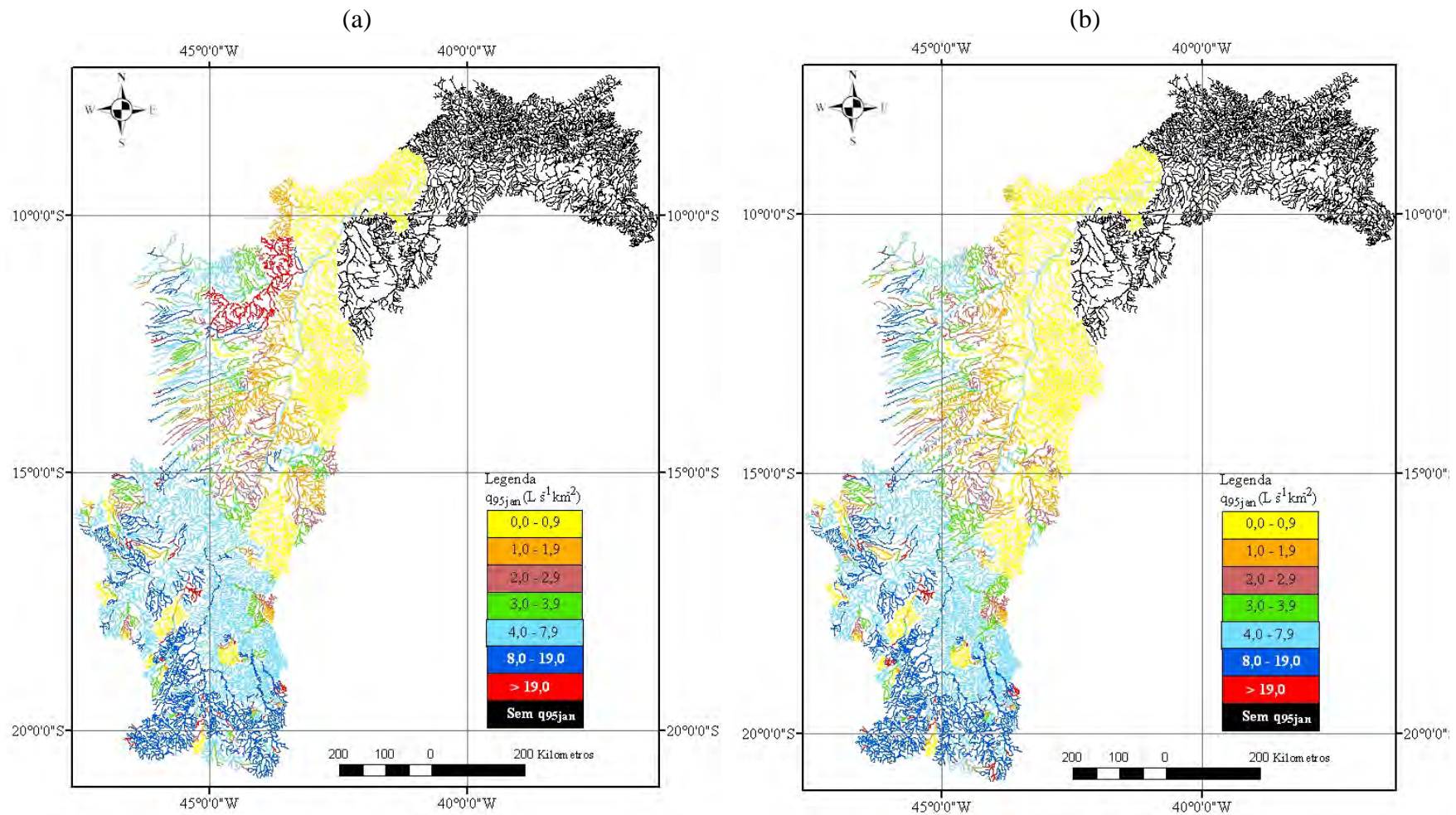


Figura 13F – Vazão específica referente à  $Q_{95jan}$  ( $q_{95jan}$ ) obtidas quando utilizadas as vazões regionalizadas em função da  $P_{eq700}$  (a); e da  $P_{eq750}$  (b) pelo MCM.

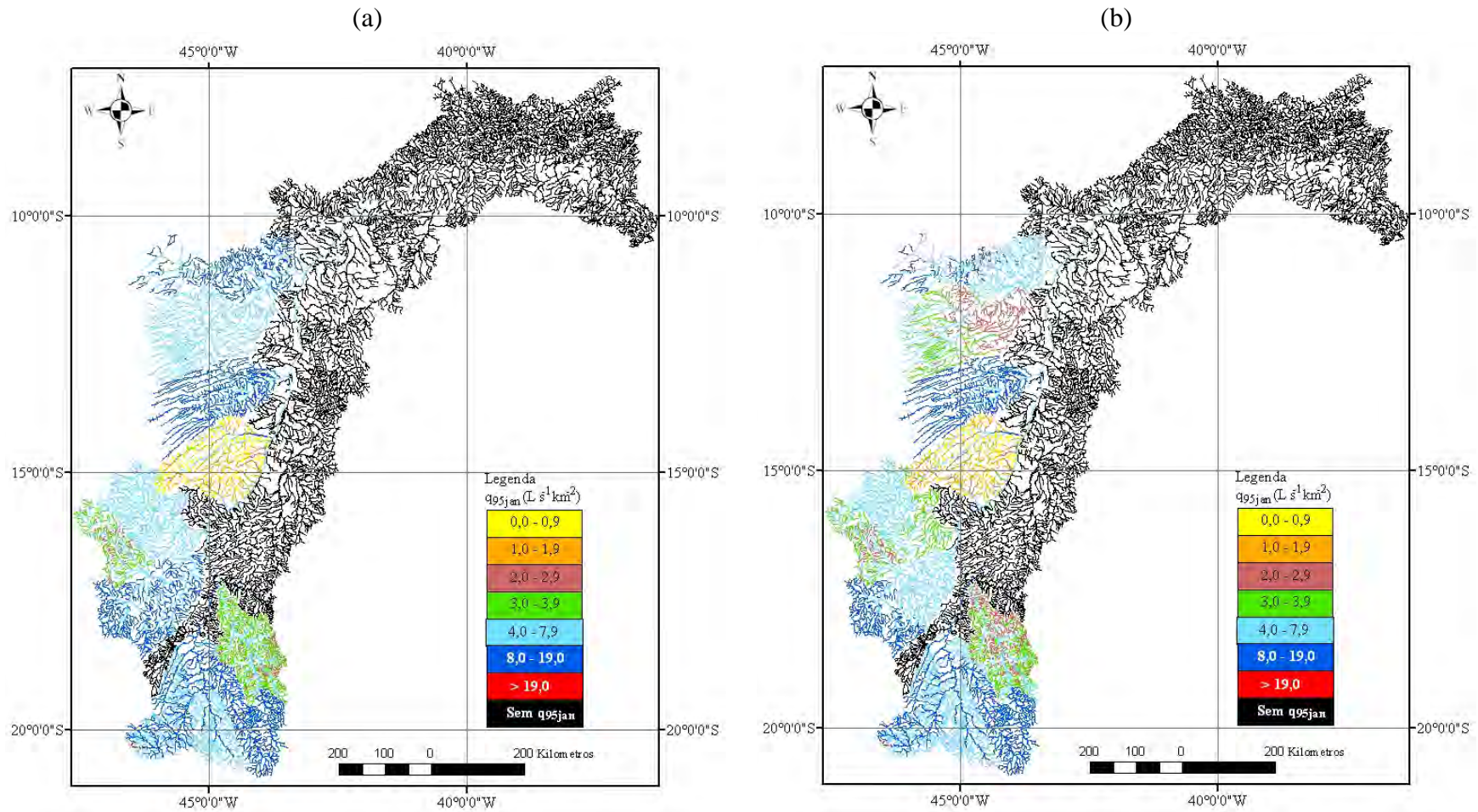


Figura 14F – Vazão específica referente à  $Q_{95jan}$  ( $q_{95jan}$ ) obtidas quando utilizadas as vazões regionalizadas em função da área (a); e da  $P_{eq}$  (b) pelo Método Tradicional.

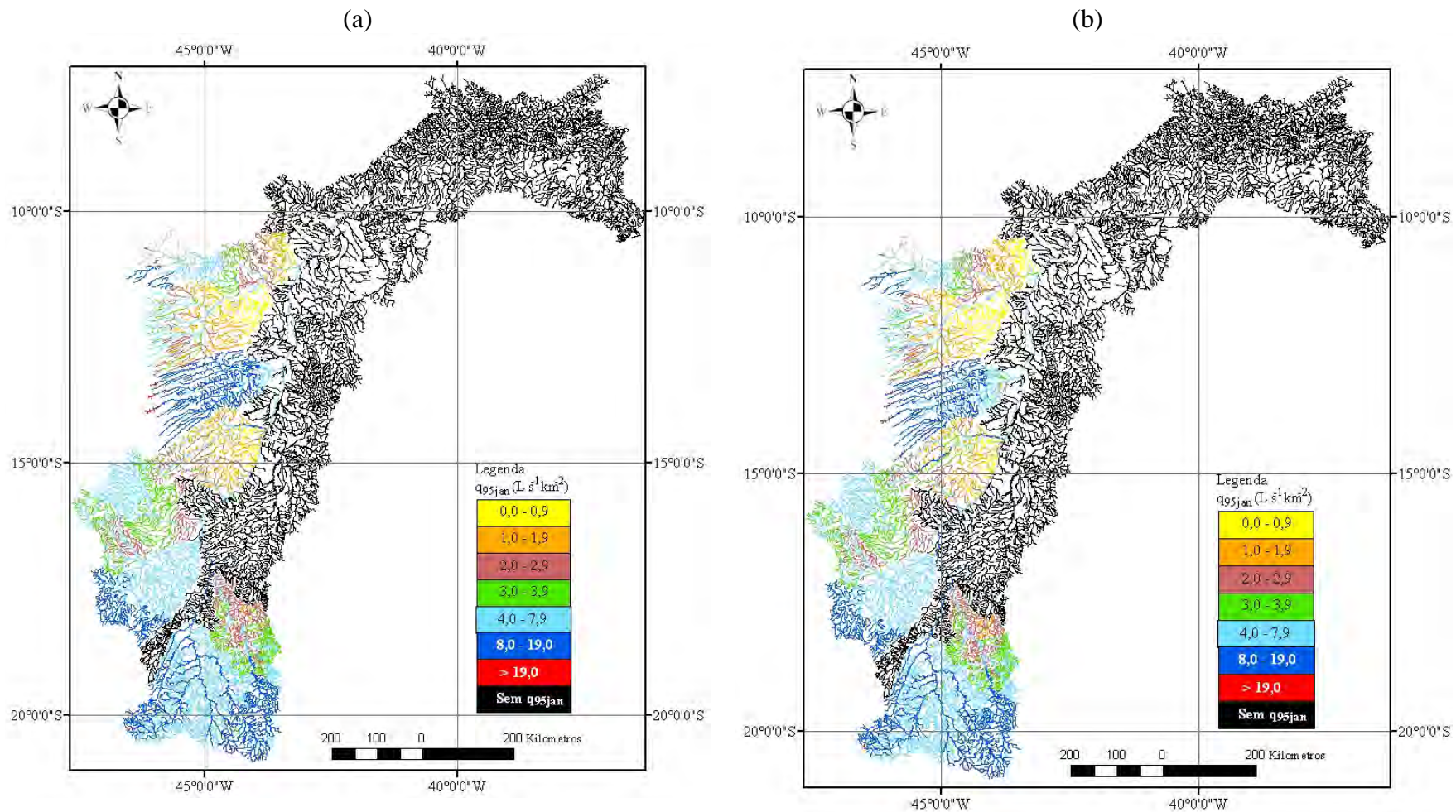


Figura 15F – Vazão específica referente à  $Q_{95jan}$  ( $q_{95jan}$ ) obtidas quando utilizadas as vazões regionalizadas em função da  $P_{eq700}$  (a); e da  $P_{eq750}$  (b) pelo Método Tradicional.